

報 文  
화학공학 제 10 권 제 4 호  
J. KICHE, Vol. 10, No. 4  
Aug. 1972

## 無限稀釋에 있어서의 活性度系數

林 鎮 男\* · 李 根 泰\* · 金 永 基\*\*

### Activity Coefficients at Infinite Dilution

\*J. N. Rhim · K. T. Lee · \*Y. K. Kim

\*Dept. of Chem. Eng., Hanyang Univ.

\*\*Dept. of Chem. Eng., Kon-Kuk Univ.

#### Abstract

Vapor-Liquid equilibrium data are frequently correlated in terms of activity coefficients. The equation derived by Gautreaux<sup>2)</sup> for obtaining activity coefficients at infinite dilution in binary system was correlated to the  $x$ - $t$  relation<sup>3)</sup> resulting in simplified equation, and its convenience and usefulness was verified. The use of the equation was also illustrated.

#### 1. 序 論

溶液의 非理想性을 재는 尺度가 되는 活性度系數  $\gamma$  는 excess Gibbs Free Energy 와 相關되어 있으며 두 成分이 氣液平衡下에 있을 때 이活性度系數는 相律에 따라 2個의 自由度數를 갖는 函數가 된다. 이 때 自由度數로서는 壓力과 液相속의 한成分의 濃度를 取하는 것이 便利하며 壓力은 大氣壓으로서 一定임으로 結局活性度系數는 液相속의 한成分의 몰分率의 函數가 되는 것이다.

그런데 二成分系의 無限稀釋에 있어서의 活性度系數 ( $\gamma^0$ )는 Margules 式과 Van Laar 式의 定數와 直結되어 있으므로 이는 二成分系 全濃度範圍에 걸친 氣液平衡의 全貌를 明示하여 줄 뿐만아니라 多成分系의 氣液平衡의 推算을 為하여도 大端히 重要한 量인 것이다.

따라서 이 無限稀釋의 活性度系數의 決定을 為하여 數個의 方法이 提示되어 왔고 이들 중 主要한 것은 다음과 같다.

即 (1) 實測된 氣液平衡關係로 부터 外插하는 方法.<sup>4)</sup>

(2) Gas-chromatograph를 使用하는 實驗的方法.<sup>5)</sup>

(3) 沸點曲線을 利用하는 方法.<sup>2), 6)</sup>

여기서 既往의 平衡實測值로 부터  $\gamma^0$  을 求하는 (1) 과 (3)의 方法과는 달리 Gautreaux<sup>2)</sup> 등이  $\gamma^0$ 에 對하여 誘導한 式과 二成分系에 있어서의  $x$ - $T$  關係式<sup>3)</sup>으로부터  $\gamma^0$  計算에 便利한 式을 얻었으며 實際計算例를 들어 이의 有用性을 報告한다.

2  $\gamma^0$  式의 誘導

Gautreaux<sup>2)</sup>에 依하면 低壓下에

$$\gamma_1^0 = \frac{\pi}{P'_1} \left[ 1 - \left( \frac{d \ln P'_1}{dT} \right)_{x_{1=0}} \left( \frac{dT}{dx_1} \right)_{x_{1=0}} \right] \quad (1)$$

$$\gamma_2^0 = \frac{\pi}{P'_2} \left[ 1 + \left( \frac{d \ln P'_2}{dT} \right)_{x_{2=0}} \left( \frac{dT}{dx_1} \right)_{x_{2=0}} \right] \quad (2)$$

一方  $x$ - $T$  關係式<sup>3)</sup>은

$$\begin{aligned} & \left( \frac{1}{1-x_1} - x_1 \right) \left( \frac{1}{S} - \frac{q_s}{RT^2} \right) \left( \frac{dT}{dx_1} \right) \\ & = \left[ \frac{d \ln \alpha_{12}}{dx_1} x_1 (1-x_1) + 1 \right] \end{aligned} \quad (3)$$

$$\frac{1}{S} = x_1 \cdot \frac{d \ln P'_1}{dT} + x_2 \cdot \frac{d \ln P'_2}{dT} \quad (4)$$

$$x_{1 \rightarrow 0} \Rightarrow x_2 \rightarrow 1, \quad q_s \rightarrow 0, \quad \frac{d \ln \alpha_{12}}{dx_1} x_1 (1-x_1) = 0$$

$$\frac{1}{S} = \left( \frac{d \ln P'_1}{dT} \right)_{x_{1=0}}$$

\* Dept. of Chem. Eng., Hanyang Univ.

\*\* Dept. of Chem. Eng., Kon-Kuk Univ.

따라서 (3)式은

$$1 - \alpha_{12}^0 = \left( \frac{d \ln P_2'}{dT} \right)_{x_1=0} = 0 \quad (5)$$

$$\alpha_{12}^0 = 1 - \left( \frac{d \ln P_2'}{dt} \right)_{x_1=0} = 0 \quad (5)$$

(5)를 (1)에 대입하면

$$\gamma_1^0 = \frac{\pi}{P_1}, \alpha_{12}^0 \quad (6-1)$$

같은 方法으로 (2)式으로 부터는

$$\gamma_2^0 = \frac{\pi}{P_2} \alpha_{21}^0 \quad (6-2)$$

가 각각 誘導 된다.

### 3. 計算方法과 實例

이 計算에 使用된 系는 各 文獻의 實驗值에서  $x_1, y_1$  을 얻고 이로부터  $X = \frac{x_1}{1-x_1}$ ,  $Y = \frac{y_1}{1-y_1}$  을 計算하여  $\frac{Y}{X} (= \alpha_{12})$  的 値을 semilog paper 의 縱軸에,  $x_1$  을 等 눈금인 橫軸에 plot 하고  $x_1 \rightarrow 0$  로 外插함으로서  $\alpha_{12}^0$  을 얻는다. 이  $\alpha_{12}^0$  를 式(6-1)에 넣어서  $\gamma_1^0$  を 求 한다. 이 上과 같은 方法으로 計算한  $\gamma_1^0$  の 値을 他文獻에서 다른 方法으로 얻어진  $\gamma_1^0$  の 値과 比較하기 위하여 Table 1에 揭示하였다.

### 4. 考 察

二成分系에 있어서 一成分이 無限稀釋으로 들어있는 濃度範圍에 있어서는 아래와 같이 Gibbs-Duhem equation 으로 부터, 溶媒成分에 關하여는 Raoult의 法則 그리고 溶質成分에 關하여는 Henry의 法則이 成立됨을 알 수 있다.

即 二成分系의 Gibbs-Duhem 式은

$$x_1 \left( \frac{\partial \ln \gamma_1}{\partial x_1} \right)_{P,T} + x_2 \left( \frac{\partial \ln \gamma_2}{\partial x_1} \right)_{P,T} = 0$$

이고  $x_1 \rightarrow 0$  일 때,  $x_1 \rightarrow 1$  이 되므로

$$\bar{p}_2 = y_2 \pi = \gamma_2 x_2 P_2'$$

에서  $\gamma_2 = 1$  로서 Raoult's Law 가 成立한다.

即  $x_2 \left( \frac{\partial \ln \gamma_2}{\partial x_1} \right)_{P,T} = 0$  가 되므로  $x_1 \left( \frac{\partial \ln \gamma_1}{\partial x_1} \right)_{P,T} = 0$  이다. 웃 식에

$$\gamma_1^0 = \frac{\pi}{P_1}, \alpha_{12}^0 = \frac{\pi}{P_1} \left( \frac{Y}{X} \right)_{x_1=0} \text{로 부터 얻은}$$

$$\ln \gamma_1^0 = \ln \frac{\pi}{P_1} + \ln Y - \ln X \text{를 대입하면}$$

$T, P = \text{const.}$  下에

$$x_1 \left( \frac{\partial \ln \gamma_1^0}{\partial x_1} \right) = x_1 \left( \frac{\partial \ln \gamma_1^0}{\partial \ln X} \right) \cdot \left( \frac{d \ln X}{dx_1} \right)$$

$$= x_1 \left( \frac{d \ln Y}{d \ln X} - 1 \right) \frac{1}{X} \cdot \frac{d X}{d x_1} = x_1 \left( \frac{d \ln Y}{d \ln X} - 1 \right)$$

$$\frac{1-x_1}{x_1} \cdot \frac{1}{(1-x_1)_2} = \left( \frac{d \ln Y}{d \ln X} - 1 \right) \frac{1}{1-x_1} = 0$$

이로 부터  $\frac{d \ln Y}{d \ln X} = 1$  即  $Y = mX$  로서 이 式으로부터 Henry의 法則이 誘導된다.

何如間 溶質의 無限稀釋範圍에서는  $\frac{d \ln Y}{d \ln X} = 1$  가 成立하며 Log-Log Plot 上에서  $Y$  对  $X$  的 傾斜가 1 이 되어야 함을 理論上 알 수 있는데 이는 Hirati<sup>4)</sup>와 Rhim<sup>5)</sup>의 報文에서 볼 수 있는 바와 같다. 即  $X$  对  $Y$  的 Log-Log Plot의 中間部를 除外한 兩端部는 大概 45°의 傾斜를 가지며, 이는前述한 바와 같이 理論上妥當한 것이다. Water-acetone 系의 경우(No. 11)와 Acetone-Methanol의 경우(No. 13), Methanol-acetone의 경우(No. 15)는 Fig. 2에서 볼 수 있는 바와 같이 45°로부터 顯著한 偏

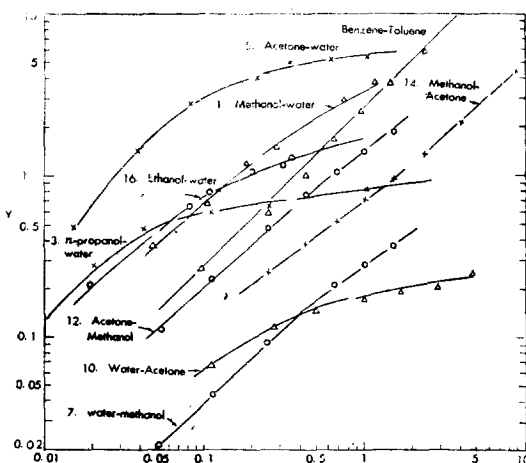


Fig. 1. Plot of Y vs. X

Table 1. Comparison of our results with Literatures

No.	Component		Temp. °C	$P'_1$ mmHg	$\pi$ mmHg	Data Source	$\alpha_{12}^n \left( = \frac{X}{Y} \right)$	$\gamma_1^0 \left( = \frac{\pi}{P'_1} \alpha_{12}^n \right)$	Literature
	1	2							
1	Methanol	Water	100	2 780	760	6	8.50	2.32	this calculation
2	Methanol	Water	100	2 780	760	7	8.30	2.27	this calculation
								2.39	5 (實測值)
								2.30	3
								2.32	7
								2.29	10
								2.12	11
								2.47	6
3	<i>n</i> -propanol	Water	100	810	760	7	17.0	16.0	this calculation
								20.9	5 (實測值)
								22.3	3
								12.6	10
								16.14	11
4	Iso-propanol	Water	100	1 430	760	7	30.0	15.9	this calculation
								15.9	5 (實測值)
								12.74	7
								11.0	10
								12.06	11
5	Acetone	Water	100	2 690	760	6	39.0	11.0	this calculation
6	Acetone	Water	100	2 690	760	6	39.0	11.0	this calculation
								10.7	5 (實測值)
								7.75	10
								13.5	11
								12.7	3
								9.6	7
7	Water	Methanol	64.5	187.5	760	6	0.42	11.66	6
8	Water	Methanol	64.5	187.5	760	6	0.42	1.70	this calculation
9	Water	Methanol	64.5	187.5	760	6	0.41	1.70	this calculation
								1.66	5 (實測值)
								2.10	3
								1.70	7
								1.66	10
								1.74	11
								1.44	6
10	Water	Acetone	56.5	126.8	760	6	0.75	4.50	this calculation
11	Water	Acetone	56.5	126.8	760	6	0.64	3.83	this calculation
								5.60	5 (實測值)
								4.90	3
								6.93	7
								4.46	10
								5.79	11
								4.06	6
12	Acetone	Methanol	64.5	992.5	760	7	2.27	1.74	this calculation
13	Acetone	Metahanol	64.5	992.5	760	6	4.30	2.29	this calculation
								1.94	6
14	Methanol	Acetone	56.5	542.5	760	7	1.29	1.81	this calculation
15	Methanol	Acetone	56.5	542.5	760	6	1.45	2.03	this calculation
								1.85	6
16	Ethanol	water	100	1693	760	6	11.4	5.12	this calculation
								6.85	6
17	Water	Ethanol	78.4	332.8	760	6	1.16	2.65	this calculation
								2.58	6

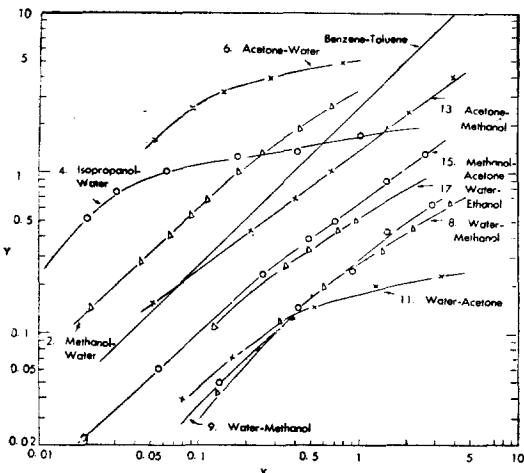


Fig. 2. Plot of Y vs. X

倚를 나타내고 있어結果値도 他文獻에 比해相當한 差異가 있고 信憑性이 적음을 볼 수 있다. 結局  $\gamma^{\circ}$  値는 實測 Data의 正確性 與否에 크게 左右됨은勿論이나 이 方法은  $\alpha_{12}^{\circ}$ 의 外挿이 比較的 容易하고 正確한 長點이 있다.

## 5. 結論

無限稀釋에 對한 溶質成分의 活性度係數를 求할 수 있는 간단한 式(6-1, 6-2)이 誘導되었다. 稀釋部分의 氣液平衡 Data에 의거  $Y/X$  와  $x_1$ 을 Semi-log paper에 plot 함으로서  $\alpha_{12}^{\circ}$ 를 쉽게 求할 수 있으며 이를 式(6-1) 혹은 (6-2)에 代入함으로서 無限稀釋範圍의 活性度係數를 比較的 正確하고 容易하게 求할 수 있다.

氣液平衡 Data는  $X$ 對  $Y$ 로서 log-log plot (Fig. 1 and 2) 하였을 때 大概 三個의 直線이 連結된 形態를 나타내는데 中間部分을 除外한 兩端의 傾斜는 理論上에 graph 上에서  $45^{\circ}$ 에 가까운 値를 가져야 하며 이에 對한 證據로서  $45^{\circ}$ 가 되지 않는 경우에 이 Data로부터 얻은  $\gamma^{\circ}$ 가 正確하다고 認定되는 實測值 또는 他文獻值와 甚한 差異를 나타낸다. 即 氣液平衡 Data의 信憑性 與否를 檢討할 수도 있다.

## Nomenclature

$p'$  : Vapor pressure

$\bar{p}$  : Partial pressure

$q_s$  : Heat of solution

$S$  : Slope factor

$T$  : Absolute temperature

$t$  : Temperature

$X$  :  $x/(1-x)$

$Y$  :  $y/(1-y)$

$x$  : mole fraction of liquid

$y$  : mole fraction of vapor

$\alpha$  : Relative volatility

$\gamma$  : Activity coefficient

$\pi$  : Total pressure

### Subscript

1 : Solute component

2 : Solvent component

### Superscript

O : Infinite dilution

## References

- Chu, J. C., R. J. Getty, L. F. Brenecke and R. Paul: "Distillation Equilibrium Data", Reinhold (1950).
- Gautreaux, M. F. and Coats, J.: *A. I. Ch. E. Journal*, **1**, 494, (1955).
- Hiranuma, M., Kugō, M.: *Chem. Eng.*, Japan, **30**, 613, (1966).
- Hirati, M.: *Japan Sci. Rev.*, **2**(3), 265, (1952).
- Hirose, Y., M. Ino, H. Hiraiwa and M. Hirata: *Chem. Eng.*, Japan, **31**, 123, (1967).
- Kojima, K. and Tochigi, K.: *Chem. Eng.*, Japan, **34**, 845, (1970).
- Kojima, K., K. Ochi and Y. Nakazawa: Preprint of the 31st Annual Meeting, Tokyo, p75, (1966).
- Reid, R. C. and T. K. Sherwood: "The properties of Gases and Liquids" Mc Graw-Hill (1958).
- Rhim, J. N.: *J. Korean Inst. Chem. Engrs.*, **6**, 22, (1968).
- Perry, J. H.: "Chemical Engineers' Handbook", 4th ed., McGraw-Hill, (1963).
- Pierotti, G. J., C. H. Deal, and E. L. Derr: *Ind. Eng. Chem.*, **51**, 95, (1959).